

# 4. Kern- und Nukleonstruktur

Streuexperimente und ihre Interpretation sind Schlüssel zur Struktur von Kernen und Nukleonen (Protonen).

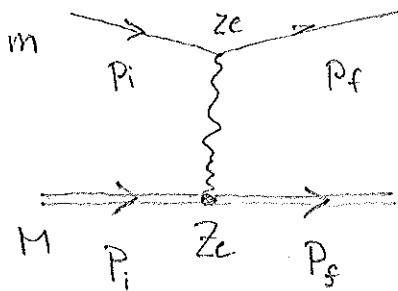
## 4.1 „Rutherford-Streuung“ an punktförmiger Ladungsverteilung

H. Geiger et al., 1909-1913: s. Fig. 4.1

Frage: Warum hat Rutherford geschlossen, daß Kerne „punktf“ sind?  
Was würde man für ausgedehnte Kerne beobachten?

### a.) Theoretische Behandlung:

Elastische Streuung eines leichten „spinlosen“ Teilchens mit Ladung  $ze$  an einem schweren (vielmal) „spinlosen“ Streuzentrum mit  $Ze$ :



Übergangsamplitude:

$$A_{fi} = \frac{zeZe}{q^2} \cdot \frac{(\hbar c)^2}{c^2} \quad (\text{s. Kap. 2})$$

$$\left[ \text{bzw. } |A_{fi}|^2 = \left( \frac{zZe\alpha}{q^2} \right)^2 (4\pi)^2 \frac{(\hbar c)^6}{c^4} \right]$$

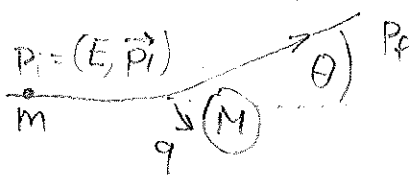
(Vervielfachung gegenüber  $e^+e^-$ ; kein spin!)

Mit der Wirkungsquerschnittsformel aus Kap 2.3b:

$$\frac{d\sigma}{d\Omega_f} = \frac{1}{(2\pi)^2} \cdot \frac{1}{(\hbar c)^4} \cdot \frac{p_f^2 c^2}{\beta_i \beta_f} \left\{ \left( \frac{zZe\alpha}{q^2} \right)^2 (4\pi)^2 \frac{(\hbar c)^6}{c^4} \right\}$$

$|A_{fi}|^2$

Kinematik:  $q^2$  für elastische Streuung



$$\begin{aligned} q^2 &= (p_i - p_f)^2 = (E_i - E_f)^2 - (\vec{p}_i - \vec{p}_f)^2 \\ &= -(\vec{p}_i - \vec{p}_f)^2 = -\vec{q}^2 < 0 \quad (!) \\ &= -2 |\vec{p}_f|^2 (1 - \cos\theta) \\ &= -4 |\vec{p}_f|^2 \sin^2 \frac{\theta}{2} \end{aligned}$$

s. u. \*

bzw.:  $|\vec{q}| = 2 |\vec{p}_f| \sin \frac{\theta}{2}$   $(x) \cos 2x = \cos^2 x - \sin^2 x$

für  $M \gg m$   
Rückstoß vernachlässigbar  
 $E_i = E_f$   
 $|\vec{p}_i| = |\vec{p}_f|$ ,  $\beta_i = \beta_f$

Mit  $\beta_i = \beta_f$   
folgt für  $d\sigma/d\Omega$

$$\frac{d\sigma}{d\Omega} = \frac{4 \beta_f^2 c^2}{\beta_f^2} \cdot \left( \frac{Z Z \alpha}{q^2} \right)^2 \frac{(\hbar c)^2}{c^4} \sim \frac{1}{q^4}$$

(Photon-Propagator)

$$= \frac{Z^2 Z^2 \alpha^2}{4 |\vec{p}_f|^2 \beta_f^2} \cdot \frac{1}{\sin^4 \frac{\theta}{2}} \cdot \frac{(\hbar c)^2}{c^2} \sim \frac{1}{\sin^4 \frac{\theta}{2}}$$

$$\left. \begin{aligned} E_{kin} &= \frac{1}{2} \cdot p v = \frac{1}{2} p \beta_f c \\ \Rightarrow 2 E_{kin} &= |\vec{p}_f| \beta_f c \end{aligned} \right\}$$

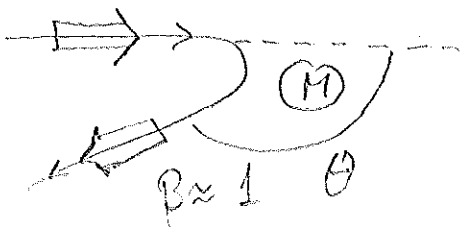
$$= \frac{Z^2 Z^2 \alpha^2}{16 E_{kin}^2 \sin^4 \frac{\theta}{2}} \cdot (\hbar c)^2$$

- Bemerkungen:
- 1) unendliche Wahrscheinlichkeit für Rückwärtsstreuung
  - 2) für kleine Streuwinkel  $\theta \rightarrow 0$  ( $q \rightarrow 0$ ):  $\frac{d\sigma}{d\Omega}$  steigt an  
allerdings: max Stoßparameter  $\rightarrow$  mindest  $q$  (bzw  $\theta$ ).
  - 3) Stoßparameter solange „pflförmig“ wie  $\lambda = \frac{\hbar}{|q|} > R_{Streu}$

b) Streuung von Spin- $\frac{1}{2}$  Teilchen (z.B. e<sup>-</sup>) an Kernen (Mott-Streuung)

Bisher wurde Spin des streuenden Teilchens nicht berücksichtigt. Häufig werden Streuexperimente mit Elektronen (Spin  $\frac{1}{2}$ ) durchgeführt.  
Für hochrelativ. Teilchen ( $\beta \rightarrow 1$ ) ist die Helizität = Projektion des Spins auf Impulsrichtung, eine Erhaltungsgröße.

$\rightarrow$  Drehimpuls- und Helizitätserhaltung unterdrückt Rückwärtsstreuung:



$$\left( \frac{d\sigma}{d\Omega} \right)_{Spin} = \left( \right)_{\text{ohne Spin}} \cdot \cos^2 \frac{\theta}{2}$$

Für den Fall  $\beta < 1$  ist die Spinausrichtung (Helizität) keine erhaltene Observable. Man erhält dann für den diff WQ:

$$\left( \frac{d\sigma}{d\Omega} \right)_{Mott} = \left( \frac{d\sigma}{d\Omega} \right)_{\text{Rutherford}} \cdot \left( 1 - \beta^2 \cdot \sin^2 \frac{\theta}{2} \right)$$

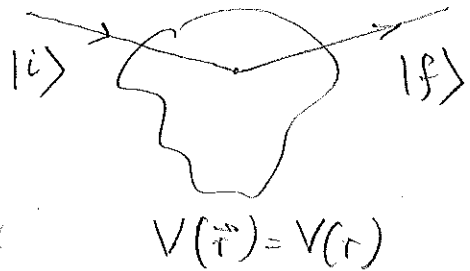
Mott-Streuung beschreibt Streuung pflf. Spin  $\frac{1}{2}$  Teilchen an pflf/ Spin 0 Target.

c.) Nachtrag: Feynman-Propagator  $\frac{1}{q^2}$  und WW-Potential.

Der Propagator  $\frac{1}{q^2}$  wurde in der Vorlesung ad-hoc und ohne Beweis auf das WW-Potential eingeführt. In der Tat existiert aber ein tiefer Zusammenhang der im Folgenden erläutert wird.

↳ s. Skizzen:

Skizzen an stationärem sphä



Für Wechselwirkungspot.  
 $V(r) = \frac{C}{r}$  findet man  
 Born-Entwickelung des  $\frac{1}{q^2}$ -Propagators  
 eben die Fourier-Transformierte des  $\frac{1}{r}$ -Potentials im Impulsraum ist.  
 $\vec{q} - E_f t$

Übergangsamplitude:  $A_{fi}$

$$A_{fi} = \frac{1}{V} \cdot \iint_{t_i, t_f} \exp(-\frac{i}{\hbar} (\vec{p}_f \vec{r} - E_f t)) V(r) \cdot \exp(\frac{i}{\hbar} (\vec{p}_i \vec{r} - E_i t)) d\vec{r} dt$$

Zeitintegration bringt Energieerhaltung:  $\delta(E_f - E_i)$

$$A_{fi} \sim \int V(r) \exp(\frac{i}{\hbar} (\vec{p}_i \vec{r} - \vec{p}_f \vec{r})) d\vec{r}$$

$$\sim \int V(\vec{r}) \exp(\frac{i}{\hbar} \cdot \vec{q} \cdot \vec{r}) d\vec{r}$$

$A_{fi}$  = Fourier-Transformierte des Potentials im Impulsraum.  $V(r)$

Für  $V(r) = \frac{C}{r}$  findet man  $A_{fi}(\vec{q}^2) \sim \frac{C}{q^2} \Rightarrow$  Propagator d.h.  $\frac{1}{q^2}$ -Propagator = Fourier Transformierte des  $\frac{1}{r}$ -Potentials.

Interessantes Potential:

$$V(r) = \frac{C}{r} \cdot e^{-r/a} \rightarrow A_{fi}(\vec{q}^2) = \frac{C}{q^2 + (\hbar/a)^2}$$

## 4.2 Streuung an ausgedehnten Ladungsverteilungen und Kernstruktur

### a) Streuung an ausgedehnter Ladungsverteilung $\rho(\vec{r})$

$$\Rightarrow V(\vec{r}) = \frac{e}{4\pi} \int \frac{\rho(\vec{r}')}{|\vec{r} - \vec{r}'|} d\vec{r}'$$

$$\left[ \begin{array}{l} \text{Erinnung:} \\ \text{Elektr. Potential } \phi(\vec{r}) \\ V(\vec{r}) = e \phi(\vec{r}) \\ \Delta \phi(\vec{r}) = -\rho(\vec{r}) \end{array} \right.$$

Mit elektr. Potential  $\phi(\vec{r})$  und Green'schem Theorem für skalare Felder  $u, v$ :

$$\int (u \Delta v - v \Delta u) d\vec{r} = 0$$

sowie  $\Delta e^{i\vec{q}\vec{r}} = -\vec{q}^2 e^{i\vec{q}\vec{r}}$  folgt:

$$A_{fi} = \int V(\vec{r}) e^{i\frac{1}{\hbar} \vec{q}\vec{r}} d\vec{r} = -\frac{e\hbar^2}{\vec{q}^2} \int \Delta \phi(\vec{r}) e^{i\frac{1}{\hbar} \vec{q}\vec{r}} d\vec{r} \left[ \begin{array}{l} \int \phi(\vec{r}) (-\vec{q}^2 e^{i\vec{q}\vec{r}}) d\vec{r} = \\ \int \Delta \phi(\vec{r}) \cdot e^{i\vec{q}\vec{r}} \end{array} \right.$$

$$= +\frac{e}{\vec{q}^2} \cdot \hbar^2 \int \rho(\vec{r}) e^{i\frac{1}{\hbar} \vec{q}\vec{r}} d\vec{r} \quad \left\{ \begin{array}{l} \text{mit } \rho(\vec{r}) = e f(\vec{r}) \\ \text{und } \int f(\vec{r}) d\vec{r} = 1 \end{array} \right.$$

$$= \frac{e^2}{\vec{q}^2} \cdot \hbar^2 \int f(\vec{r}) e^{i\frac{1}{\hbar} \vec{q}\vec{r}} d\vec{r} = \frac{e^2}{\vec{q}^2} \hbar^2 \cdot F(\vec{q}^2)$$

$$= \frac{e^2 \hbar^2}{\vec{q}^2} \cdot F(\vec{q}^2) \quad \text{mit } F(\vec{q}^2) = \text{Fourier-Trf. des auf 1 normierten Ladungsverteiles } f(\vec{r})$$

ursprüngl. Ampl.  $\leftarrow$  = Formfaktor

d.h. für den WQ der Streuung eines phff. Teilchens an einer ausgedehnten Ladungsverteilung  $\rho(\vec{r})$  erhält man:

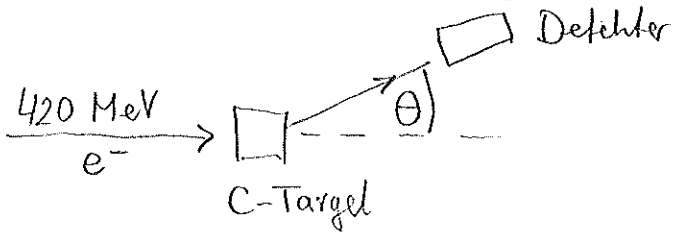
$$\left( \frac{d\sigma}{d\Omega} \right) = \left( \frac{d\sigma}{d\Omega} \right)_{\text{phff}} \cdot |F(\vec{q}^2)|^2$$

Bemerkung: (1)  $|F(\vec{q}^2)|^2 \leq 1$ , d.h. WQ ist immer kleiner als phff. WQ

(2) für kleines  $\vec{q}^2 \rightarrow$  ausgetauschtes Photon hat große Wellenlänge:  $|F(\vec{q}^2)|^2 \rightarrow 1$

b) Elektron-Kern-Streuung

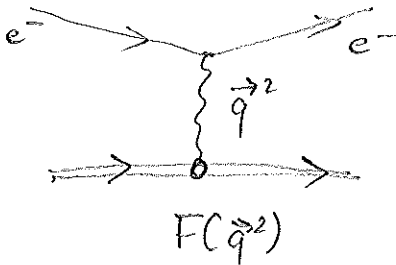
4-5



Hofstadter 1957

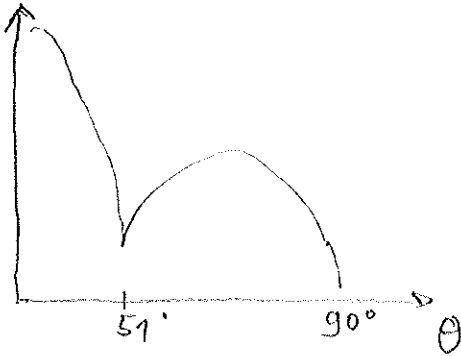
Stanford 500 MeV Linear Beschl.

s.a. Fig. 4.2 4.3



$$\left(\frac{d\sigma}{d\Omega}\right)_{\text{exp}} = \left(\frac{d\sigma}{d\Omega}\right)_{\text{Mott}} \cdot |F(\vec{q}^2)|^2$$

$\frac{d\sigma}{d\Omega}$



Aus  $\left(\frac{d\sigma}{d\Omega}\right)_{\text{exp}}$  läßt sich  $|F(\vec{q}^2)|^2$  bestimmen.  
 Ein einfacher Rückwärtspfad zur Ermittlung der Ladungsverteilung ist aber nicht möglich:

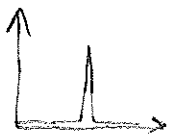
- (1)  $F(\vec{q}^2)^2$  nicht für alle  $\vec{q}^2$  gemessen  
 (für ausgedehnte Kern fällt  $|F(\vec{q}^2)|^2$  für große  $\vec{q}^2$  stark ab  $\rightarrow$  schwer zu messen)
- (2) Man braucht auch die Phase!

Stattdessen: Modellaussätze zur Beschreibung der Ladungsverteilung.  
 Fourier-Transform der Modellaussätze wird an Daten angepasst.

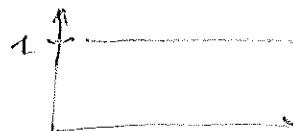
Beispiele: (Fig. 4.4 & Fig. 4.5)

Ladungsverteilung  $\rho(\vec{r})$

Formfaktor  $F(\vec{q}^2)$



$$\frac{\delta(r)}{4\pi}$$



konst = 1



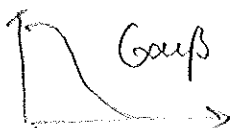
$$\left(\frac{a^3}{8\pi}\right) \exp(-ar)$$



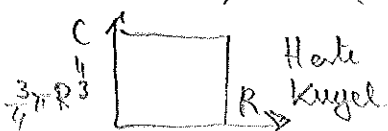
Dipolform:  $\left(1 + \frac{\vec{q}^2}{a^2 \hbar^2}\right)^{-2}$



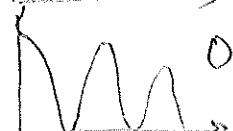
$$\left(\frac{a^2}{2\pi}\right)^{3/2} \exp\left(-\frac{a^2 r^2}{2}\right)$$



$$\exp\left(\frac{-\vec{q}^2}{2a^2 \hbar^2}\right)$$



Harte Kugel  $\left\{ \begin{array}{l} C \text{ für } r \leq R \\ 0 \text{ für } r > R \end{array} \right.$



Oszillierend  $3\alpha^{-3}(\sin \alpha - \alpha \cos \alpha)$   
 $\alpha = \hbar R / \hbar$

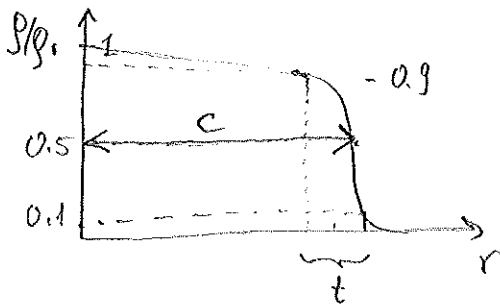
c) Ladungsverteilung von Kernen:

Gewisse Schwiegheit:

Je größer die Ausdehnung der Ladungsverteilung, desto stärker fällt  $|F(\vec{q}^2)|^2$  für große Winkel (große  $\vec{q}^2$ ) ab... sehr einschneidender Effekt ausgedehnter Kerne.

Für eine Vielzahl von Kernen wurde die Ladungsverteilung bestimmt:

Kerne werden gut durch "Fermi-Verteilung" beschrieben (s. Fig. 4.6):



Radiale Ladungsverteilung:

$$\rho(r) = \frac{\rho_0}{1 + e^{(r-c)/a}}$$

$\Rightarrow$  „weicher Rand“

$$c = \text{Halbdichte-Radius} \approx (1.18 A^{1/3} - 0.48) \text{ fm}$$

$$t = \text{Oberflächendicke (90\% \cdot 10\%)} = 4 \ln 3 \cdot a = 4.4 a \approx 2.4 \text{ fm}$$

$$a \approx 0.545 \text{ fm}$$

Für mittlere und große  $A$  findet man näherungsweise für den mittleren quadrat. Radius:

$$\sqrt{\langle r^2 \rangle} \approx 0.94 \cdot A^{1/3} \text{ fm}$$

Offt wird der Kern als näherungsweise durch Kugel mit „hartem Rand“ beschrieben für die  $\langle r^2 \rangle$  gegeben ist durch:

$$\langle r^2 \rangle_{\text{hard}} = \int_0^R r^2 \rho(r) dV = \underbrace{4\pi \frac{3}{4\pi R^3}}_{\text{Dichte homogene Kugel}} \int_0^R r^4 dr = \frac{3}{5} R^2$$

$$\text{für } \langle r^2 \rangle_{\text{hard}} = (0.94 A^{1/3} \text{ fm})^2 \Rightarrow R_{\text{hard}} = \frac{5}{3} \cdot 0.94 A^{1/3} \text{ fm} = 1.2 A^{1/3} \text{ fm}$$

Erwartungswert der harten Kugel soll gerade  $\langle r^2 \rangle$  für reale Kerne mit weichen Rand entsprechen.

Bem.: Für Nukleondichte von Kernen findet man:

$$\rho_N = 0.17 \text{ Nukleon/fm}^3$$